

## محاسبه ضریب تضعیف جرمی چوب ریزوفورا به عنوان ماده معادل بافت با کمک کد MCNPX

سیدمیلاد وهابی<sup>۱</sup>، مستعان بحرینی‌پور<sup>۱\*</sup> و مجتبی شمسایی‌زفرقدی<sup>۱</sup>

<sup>۱</sup>دانشگاه صنعتی امیرکبیر (پلی‌تکنیک تهران)، تهران، ایران.

\*تهران، دانشگاه صنعتی امیرکبیر، دانشکده مهندسی انرژی و فیزیک، کد پستی: ۱۵۸۷۵-۴۴۱۳

پست الکترونیکی: mostean-bahreinipour@aut.ac.ir

### چکیده

چوب ریزوفورا نوعی چوب است که خواص اندرکنشی آن با پرتو، مشابه با آب می‌باشد. اخیراً یک مدل جدید مبتنی بر کد MCNP4C برای محاسبه ضرایب تضعیف جرمی چند پلیمر پیشنهاد شده است. هدف از این مقاله، محاسبه ضریب تضعیف جرمی چوب ریزوفورا در محدوده انرژی بین ۱۵/۷۷ تا ۶۰ کیلوالکترونولت با استفاده از این مدل می‌باشد. مدل مذکور در ابتدا برای بافت نرم، پستان و آب مورد استفاده قرار گرفت و پس از اعتبارسنجی با داده‌های XCOM، برای این چوب به کار گرفته شد. خطای نسبی شبیه‌سازی همواره کمتر از ۵۵٪ بوده است. نتایج حاصل شده تطابق خوبی با داده‌های XCOM داشتند.

کلیدواژگان: ضریب تضعیف جرمی، چوب ریزوفورا، MCNPX، معادل بافت، XCOM

### ۱. مقدمه

که  $I_0$  و  $I_t$  به ترتیب تابش تضعیف شده و تضعیف نشده و  $t$

ضریب تضعیف خطی  $\mu$  احتمال اندرکنش فوتون در واحد مسیر طی شده است. ضریب تضعیف جرمی  $(\mu/\rho)$  یک ضریب مستقل از چگالی  $(\rho)$  می‌باشد که با تقسیم  $\mu$  بر  $\rho$  به دست می‌آید [۱]. رابطه تغییرات شدت تابش با  $(\mu/\rho)$  به صورت زیر قابل تعریف است:

$$\mu/\rho = \sum_i w_i (\mu/\rho)_i \quad (2) \quad I = I_0 e^{-(\mu/\rho)t} \quad (1)$$

فانتوم‌های استاندارد از نظر خواص رادیومتریک است [۲۱-۱۸].

خواص ضریب تضعیف خطی گسترهای از چوب‌های جنگلی حرا در انرژی فوتون  $59/54 \text{ keV}$  مورد مطالعه قرار گرفته است. مشاهده شد که چوب ریزوفورا در این بین پتانسیل معادل بافت بودن برای دزیمتری تابش را داراست زیرا خواص آن بر حسب چگالی-جرم و تضعیف مشابه آب می‌باشد. در انرژی‌های کالت-۶۰، این چوب با چگالی  $1/040 \text{ g/cm}^3$  درصد دزعمقی را فراهم می‌کند که در محدوده ۲٪ مقادیر مربوط به آب است [۲۲]. بررسی‌های بیشتری شامل آزمودن شدت انتقالی و پراکندگی برای گسترهای از چوب‌های جنگلی، آب و لاستیک اصلاح شده تحت هشت زاویه متفاوت پراکندگی از ۱۰ تا  $45^\circ$  درجه انجام گرفته است. نتایج نشان می‌دهند که چوب ریزوفورا و لاستیک اصلاح شده مشخصات رادیوگرافیکی و پراکندگی مشابهی با آب دارند [۲۳].

ضریب تضعیف جرمی چوب ریزوفورا برای محدوده انرژی  $15/77 \text{ keV}$  تا  $25/27 \text{ keV}$  تعیین و نتایج با مقادیر تئوری مقایسه شد. همچنین مشاهده شد که نتایج، انطباق خوبی با داده‌های XCOM داشتند [۲۴]. اخیراً ضرایب تضعیف جرمی، عدد اتمی مؤثر و چگالی الکترونی چوب ریزوفورا و تخته خرد چوب با استفاده از کد MCNP5 در بازه انرژی  $10 \text{ keV}$  تا  $60 \text{ keV}$  محاسبه شده‌اند [۲۵].

هدف از این مقاله محاسبه ضریب تضعیف جرمی چوب ریزوفورا و چند ماده در انرژی  $15/77 \text{ keV}$  تا  $60 \text{ keV}$  با استفاده از کد MCNPX می‌باشد. مدل مورد استفاده در اینجا مطابق با مدل گزارش شده در مقاله وهابی و همکاران است [۱۶]. تفاوت این مدل با مدل مرجع [۲۵] در ابعاد، نوع آشکارساز، هندسه و چشمۀ می‌باشد. نهایتاً نتایج شبیه‌سازی با داده‌های XCOM مقایسه شدند.

ضریب تضعیف جرمی کمیتی بنیادی جهت تعیین نفوذ فوتون‌ها و پرتو ایکس و محاسبه انرژی انباشت در مواد بیولوژیکی و حفاظتها می‌باشد. اندازه‌گیری ضرایب تضعیف فوتون‌ها در مواد زیستی و سایر مواد اهمیت بسزایی در حوزه‌های صنعت، بیولوژی، کشاورزی و پزشکی دارد. علاوه بر این، مقادیر دقیق ضرایب تضعیف جرمی فوتون جهت تهیه و تدارک داده‌های ضروری در زمینه‌های مقطع‌نگاری، طیف‌سنجی، رادیوگرافی، فیزیک اتمی، پزشکی تشخیصی مطالعات فلورسانس پرتوگاما، بلورنگاری و بیوفیزیک تابش مورد نیاز است [۲، ۳]. بهمین دلیل، از همان روزهای آغازین مطالعات پرتو ایکس، اندازه‌گیری ضرایب تضعیف جرمی و مقایسه آن‌ها با داده‌های نظری صورت گرفته و کارهای تحقیقاتی بر جسته‌ای در رابطه با اندازه‌گیری و محاسبه این ضرایب منتشر شده است. ضرایب تضعیف برخی از اسیدهای چرب [۴، مس، CuInSe<sub>2</sub>، ایندیوم و سلنیوم در حالت عنصری و نیمه‌رسانای

[۵]، نمونه‌های بیولوژیکی مثل استخوان، ماهیچه، چربی و آب [۶]، نمونه‌های بیولوژیکی حاوی هیدروژن، کربن، نیتروژن و اکسیژن [۷]، بتن، باکلیت و سیمان [۸-۱۰]، آمینواسیدها [۱۱]، بافت‌ها و اعضای بدن انسان [۱۲]، اکسیدهای فلزی سنگین [۱۳]، نمونه‌های بیولوژیکی و زمین شناختی [۱۴]، سرامیک بر پایه سرب [۱۵] و چند پلیمر [۱۶] در انرژی‌های متفاوت اندازه‌گیری یا از طریق شبیه‌سازی به دست آمدند.

نظر به‌اینکه استفاده از فانتوم آب برای اندازه‌گیری پارامترهای دزیمتری همواره عملی نیست، فانتوم‌های جامد همگنی از جمله پلی‌استرن، آکریلیک و مواد مخصوص کاربرد گستردۀ‌ای مخصوصاً در دزیمتری بالینی دارند [۱۷]. چوب ریزوفورا<sup>۱</sup> نوعی چوب است که خواص اندرکنشی آن با پرتو، همانند آب می‌باشد. علاوه بر این، دارای مشابهت‌هایی با سایر

<sup>۱</sup>Rhizophora

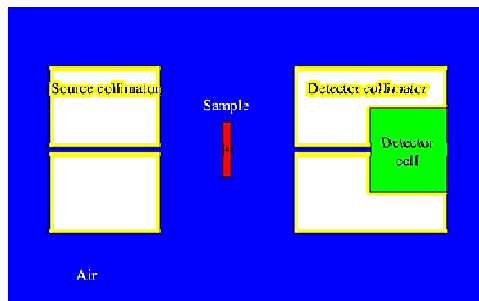
درصد وزنی عنصری و مشخصات مواد به کار رفته در این شبیه‌سازی در جدول ۱ آورده شده است. کولیماتورها، استوانه‌های سربی با قطر داخلی ۳ میلی‌متر و قطر خارجی ۱۲ سانتی‌متر در نظر گرفته شدند. فاصله چشمی تا نمونه ۲۷/۵ سانتی‌متر و فاصله نمونه تا آشکارساز ۲۰/۵ سانتی‌متر فرض شد.

آشکارساز از نوع سوسوزن NaI و به شکل استوانه‌ای با قطر ۶ سانتی‌متر و ضخامت ۱۱ سانتی‌متر می‌باشد. محیط بیرونی غیر از نمونه، آشکارساز و کولیماتورها کره‌ای از جنس هوا با شعاع ۱۰۰ سانتی‌متر و فضای خارج از آن خلاً است. چشمی، صفحه‌ای تک انرژی با انرژی‌های ۶۰، ۵۵، ۵۰، ۴۵، ۴۰، ۳۵، ۳۰، ۲۵/۲۷، ۲۴/۲۱، ۲۲/۱۶، ۲۱/۱۸ و ۱۷/۴۸ کیلو الکترون‌ولت در نظر گرفته شد.

## ۲. مواد و روش‌ها

برنامه XCOM برای محاسبه ضریب تضعیف جرمی مورد استفاده قرار گرفت. این برنامه توسط برگر و هابل توسعه داده شده است که برای محاسبه ضریب تضعیف جرمی در انرژی‌های ۱ keV تا ۱۰۰ GeV می‌رود [۲۶، ۲۷].

کد مونت‌کارلو MCNP که در آزمایشگاه ملی لوس‌آلamos توسعه یافته است، یک کد بین‌المللی شناخته شده جهت آنالیز تراپرد نوترون، پرتوهای گاما و الکترون‌ها با استفاده از روش مونت‌کارلو می‌باشد. در این مقاله از نسخه MCNPX استفاده شد. شکل ۱ هندسه شبیه‌سازی را نشان می‌دهد. این هندسه مبتنی بر مدل ارائه شده توسط وهابی و همکاران می‌باشد که اخیراً منتشر شده است. نمونه، استوانه‌ای با قطر ۸ سانتی‌متر و ضخامت ۱ سانتی‌متر است.



شکل (۱): هندسه شبیه‌سازی شده.

جدول (۱): مشخصات مواد مورد استفاده در شبیه‌سازی.

Cl	S	P	Na	O	N	C	H	چگالی (g/cm³)	ماده	
-	-	-	-	۸۸/۹۰۰	-	-	-	۱۱/۱۰۰	۱	آب
-	-	-	-	۷۷/۱۸۲۸	۲/۶۰۰	۱۱/۱۰۰	۱۰/۱۱۷۲	۱	(ICRU 44)	بافت نرم
۰/۱۰۰	۰/۲۰۰	۰/۱۰۰	۰/۱۰۰	۵۲/۷۰۰	۳/۰۰۰	۳۳/۲۰۰	۱۰/۶۰۰	۱/۰۲	(ICRU 44)	پستان
-	-	-	-	۵۴/۴۰۰	۳/۰۰۰	۴۰/۱۶۰	۵/۴۱۰	۱/۰۴	چوب ریزوفورا	

گرفت. تعداد ذرات برابر با ۲۰۰۰۰۰۰ ذره در نظر گرفته شد.

تالی F4 برای محاسبه خروجی شبیه‌سازی مدنظر قرار

می‌باشد. این امر به این دلیل رخ می‌دهد که سطح مقطع مؤثر به‌طور عکس با انرژی فوتون ورودی متناسب است. همچنین از شکل ۲ می‌توان مشاهده نمود که داده‌های شبیه‌سازی و XCOM توافق خوبی با یکدیگر دارند. اختلاف نسبی بین دو روش محاسباتی کمتر از  $\pm 0.5\%$  بوده است. این امر بار دیگر اعتبار مدل مورد استفاده در این مقاله در محاسبه ضریب تضعیف جرمی را نشان می‌دهد.

نتایج شبیه‌سازی چوب ریزوفورا با آب و بافت نرم موردنیقایس قرار گرفتند. این امر از طریق محاسبه اختلاف نسبی محقق شد. نتایج در قالب شکل ۳ نشان داده شده است. تغییرات در مقادیر ضریب تضعیف جرمی چوب ریزوفورا در مقایسه با آب و بافت نرم با اختلاف نسبی به ترتیب کمتر از  $-9\%$  و  $-13\%$  مشاهده شد.

همچنین از جدول ۲ و شکل ۲ مشاهده می‌شود که مقادیر ضریب تضعیف جرمی چوب ریزوفورا به پستان نزدیک‌تر است و این امر با یافته‌های مرجع [۲۱] مطابقت دارد.

شکل ۳ نشان می‌دهد که بیشترین اختلاف نسبی در مقادیر ضریب تضعیف جرمی نمونه‌های چوب ریزوفورا در مقایسه با آب و بافت نرم مربوط به انرژی  $15/77 \text{ keV}$  می‌باشد. در این انرژی جذب فوتولکترویک غالب است.

این رفتار به‌دلیل بستگی شدید جذب فوتولکترویک به عدد اتمی و همچنین وجود عناصر با عدد اتمی بالاتر (کربن و نیتروژن) در چوب ریزوفورا می‌باشد. در انرژی  $60 \text{ keV}$  پراکندگی کامپتون غالب است، اختلاف نسبی کمترین مقدار ممکن است زیرا چگالی الکترون تقریباً برابری در این ناحیه از انرژی، در نمونه‌های فوق‌الذکر وجود دارد.

### ۳. نتایج و بحث

در ابتدا کد MCNPX مورد استفاده قرار گرفت تا مقادیر ضریب تضعیف جرمی برای آب، پستان و بافت نرم [۲۸] محاسبه گردند. مقادیر ضریب تضعیف جرمی با استفاده از MCNPX نیز محاسبه شد. مقادیر شبیه‌سازی و XCOM برای این سه ماده در جدول ۲ قابل مشاهده است.

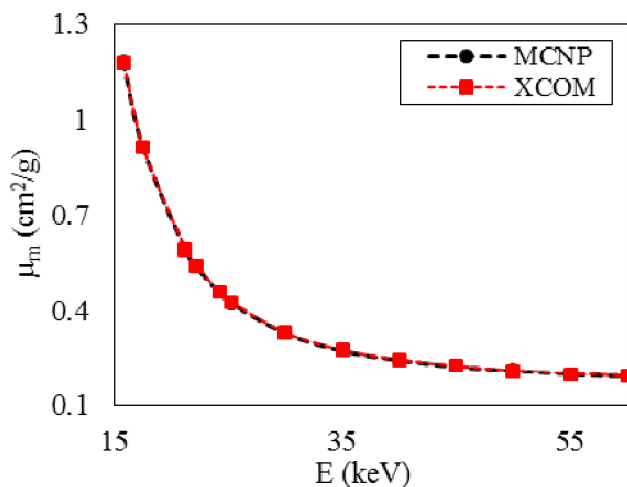
اختلاف نسبی بین دو روش محاسباتی کمتر از  $\pm 0.5\%$  مشاهده شد که در مقایسه با مرجع [۲۵] بهبود یافته است. به علاوه، این امر نشان می‌دهد که مدل ارائه‌شده در این مقاله مدل مناسبی برای محاسبه ضرایب تضعیف جرمی مواد می‌باشد. مقالات مشابهی به اعتبارسنجی کد MCNPX به عنوان روشی جایگزین برای XCOM و آزمایشات تجربی در محاسبه ضرایب تضعیف جرمی مواد مختلف پرداخته‌اند [۲۹، ۳۰].

در مرحله بعد، پس از اعتبارسنجی، مدل مورد استفاده برای محاسبه ضریب تضعیف جرمی چوب ریزوفورا به کار گرفته شد. نتایج شبیه‌سازی و مقایسه آن با داده‌های XCOM در شکل ۲ نشان داده شده است. این شکل نشان می‌دهد که با افزایش انرژی، ضرایب تضعیف جرمی کاهش می‌یابد. جذب فوتولکترویک در انرژی‌های کمتر از  $30 \text{ keV}$  غالب است. این امر به‌دلیل اهمیت بستگی اتمی رخ می‌دهد.

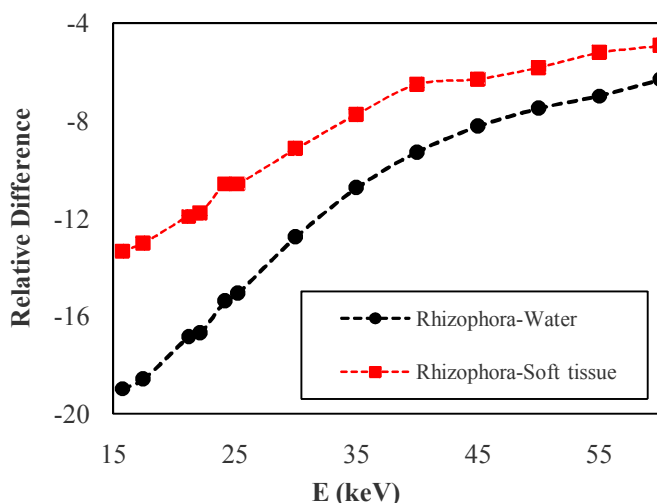
در این ناحیه انرژی، منحنی‌های ضریب تضعیف جرمی ناپیوستگی لبه جذب از خود نشان نمی‌دهند زیرا مواد مورد استفاده در این مقاله عناصر با عدد اتمی بالا ندارند [۳۱]. سهم جذب فوتولکترویک در انرژی بیش از  $30 \text{ keV}$  قبل اغماس خواهد بود و پدیده غالب در این محدوده پراکندگی کامپتون

جدول(۲): مقادیر ضریب تضعیف جرمی فوتونی برای بافت نرم، پستان و آب.

ضریب تضعیف جرمی ( $\text{cm}^2/\text{g}$ )								انرژی (keV)	
آب		پستان		باft نرم					
MCNP	XCOM	MCNP	XCOM	MCNP	XCOM				
۱/۴۶۱	۱/۴۶۳	۱/۲۱۷	۱/۲۱۱	۱/۳۶۶	۱/۳۶۵	۱۵/۷۷			
۱/۱۲۵	۱/۱۲۱	۰/۹۴۱	۰/۹۳۸	۱/۰۵۳	۱/۰۴۹	۱۷/۴۸			
۰/۷۱۲	۰/۷۱۲	۰/۶۱۰	۰/۶۱۱	۰/۶۷۲	۰/۶۷۱	۲۱/۱۸			
۰/۶۴۷	۰/۶۴۶	۰/۵۰۶	۰/۵۰۸	۰/۶۱۱	۰/۶۱۰	۲۲/۱۶			
۰/۵۴۰	۰/۵۴۰	۰/۴۷۲	۰/۴۷۳	۰/۵۱۱	۰/۵۱۳	۲۴/۲۱			
۰/۴۹۸	۰/۴۹۸	۰/۴۳۸	۰/۴۳۹	۰/۴۷۳	۰/۴۷۴	۲۵/۲۷			
۰/۳۷۶	۰/۳۷۶	۰/۳۴۰	۰/۳۴۰	۰/۳۶۱	۰/۳۶۰	۳۰			
۰/۳۰۷	۰/۳۰۸	۰/۲۸۵	۰/۲۸۵	۰/۲۹۷	۰/۲۹۷	۳۵			
۰/۲۶۹	۰/۲۶۸	۰/۲۵۴	۰/۲۵۳	۰/۲۶۱	۰/۲۶۱	۴۰			
۰/۲۴۳	۰/۲۴۴	۰/۲۲۳	۰/۲۲۳	۰/۲۳۸	۰/۲۳۸	۴۵			
۰/۲۲۷	۰/۲۲۷	۰/۲۱۹	۰/۲۱۹	۰/۲۲۳	۰/۲۲۲	۵۰			
۰/۲۱۵	۰/۲۱۵	۰/۲۰۸	۰/۲۰۸	۰/۲۱۱	۰/۲۱۱	۵۵			
۰/۲۰۶	۰/۲۰۶	۰/۲۰۱	۰/۲۰۱	۰/۲۰۳	۰/۲۰۳	۶۰			



شکل(۲): مقایسه بین داده‌های شبیه‌سازی و XCOM برای مقادیر ضریب تضعیف جرمی بر حسب انرژی برای چوب ریزوفورا.



شکل (۳): اختلاف نسبی در ضرایب تضعیف جرمی (%) بر حسب انرژی بین چوب ریزوفورا، آب و بافت نرم.

نسبت به مرجع [۲۵] به مقادیر تئوری نزدیکتر بوده و در این زمینه بهبود خوبی حاصل شد. نتایج همچنین نشان داد که ضریب تضعیف جرمی وابسته به انرژی است و با افزایش انرژی کاهش می‌یابد. این بستگی انرژی در انرژی‌های کمتر از  $30 \text{ keV}$  به دلیل غالب بودن پدیده فوتولکترویک بیشتر مشاهده می‌گردد. در انرژی بیش از  $30 \text{ keV}$  ضرایب تضعیف جرمی به دلیل غالب بودن پراکنندگی کامپیون، روند تقریباً ثابتی را دارد.

#### ۴. نتیجه‌گیری

در این مقاله، کد MCNPX برای محاسبه مقادیر ضریب تضعیف جرمی چوب ریزوفورا، آب، پستان و بافت نرم در انرژی  $15/77 \text{ keV}$  تا  $60 \text{ keV}$  مورد استفاده قرار گرفت. قابلیت مدل استفاده شده در محاسبات ضریب تضعیف جرمی رضایت‌بخش ارزیابی شد. نتایج شبیه‌سازی با داده‌های برنامه XCOM مطابقت بسیار خوبی داشت، به‌گونه‌ای که داده‌ها

#### ۵. مراجع

- [1] H. Cember, Introduction to Health Physics. McGraw-Hill, New York, (2000).
- [2] N. Ekinci, N. Astam. Measurement of mass attenuation coefficients of biological materials by energy dispersive X-ray fluorescence spectrometry. Radiat. Meas. 42(3) (2007) 428–430.
- [3] S. Gowda, S. Krishnaveni, T. Yashoda, T. Umesh, R. Gowda. Photon mass attenuation coefficients, effective atomic numbers and electron densities of some thermoluminescent dosimetric compounds. Pramana. 63(3) (2004) 529–541.
- [4] G. Bhandal, K. Singh, R. Rani, V. Kumar. Energy absorption coefficients for 662 and 1115 keV gamma rays in some fatty acids. Appl. Radiat. Isot. 45(3) (1994) 379–381.
- [5] U.u. Çevik, H. Baltaş, A. Çelik, E. Bacaksız. Determination of attenuation coefficients, thicknesses and effective atomic numbers for CuInSe<sub>2</sub> semiconductor. Nucl. Instrum. Methods. Phys. Res. B. 247(2) (2006) 173–179.
- [6] A. Akar, H. Baltaş, U. Çevik, F. Korkmaz, N. Okumuşoğlu. Measurement of attenuation coefficients for bone, muscle, fat and water at 140, 364 and

- 662keV  $\gamma$ -ray energies. *J. Quant. Spectrosc. Radiat. Transf.* 102(2) (2006) 203–211.
- [7] V. Manjunathaguru, T. Umesh. Simple parametrization of photon mass energy absorption coefficients of H-, C-, N-and O-based samples of biological interest in the energy range 200–1500 keV. *Pramana*. 72(2) (2009) 375–387.
- [8] O. Gurler, U.A. Tarim. An investigation on determination of attenuation coefficients for gamma-rays by Monte Carlo method. *J. Radioanal. Nucl. Chem.* 293(1) (2012) 397–401.
- [9] S. Sharifi, R. Bagheri, S. Shirmardi. Comparison of shielding properties for ordinary, barite, serpentine and steel–magnetite concretes using MCNP-4C code and available experimental results. *Ann. Nucl. Energy*. 53 (2013) 529–534.
- [10] N. Demir, U.A. Tarim, M.-A. Popovici, Z.N. Demirci, O. Gurler, I. Akkurt. Investigation of mass attenuation coefficients of water, concrete and bakelite at different energies using the FLUKA Monte Carlo code. *J. Radioanal. Nucl. Chem.* 298(2) (2013) 1303–1307.
- [11] P.S. Kore, P.P. Pawar. Measurements of mass attenuation coefficient, effective atomic number and electron density of some amino acids. *Radiat. Phys. Chem.* 98 (2014) 86–91.
- [12] V. Singh, N. Badiger, N. Kucuk. Assessment of methods for estimation of effective atomic numbers of common human organs and tissue substitutes: waxes, plastics and polymers. *J. Radioprot.* 49(2) (2014) 115–121.
- [13] A. El-Khayatt, A. Ali, V.P. Singh. Photon attenuation coefficients of Heavy-Metal Oxide glasses by MCNP code, XCOM program and experimental data: A comparison study. *Nucl. Instrum. Methods Phys. Res. A*. 735 (2014) 207–212.
- [14] V. Trunova, A. Sidorina, V. Kriventsov. Measurement of X-ray mass attenuation coefficients in biological and geological samples in the energy range of 7–12keV. *Appl. Radiat. Isot.* 95 (2015) 48–52.
- [15] A. Vejdani-Noghreiany, E. Aliakbari, A. Ebrahimi-Khankook, M. Ghasemifard. Theoretical and experimental determination of mass attenuation coefficients of lead-based ceramics and their comparison with simulation. *Radiat. Prot. Dosimetry*. 31(2) (2016) 142–149.
- [16] S.M. Vahabi, M. Bahreinipour, M.S. Zafarghandi. Determining the mass attenuation coefficients for some polymers using MCNP code: A comparison study. *Vacuum*. (2016).
- [17] F.M. Khan, J.P. Gibbons. Khan's the physics of radiation therapy. Lippincott Williams & Wilkins (2014).
- [18] D. Banjade, A. Tajuddin, A. Shukri. A study of Rhizophora spp wood phantom for dosimetric purposes using high-energy photon and electron beams. *Appl. Radiat. Isot.* 55(3) (2001) 297–302.
- [19] M.W. Marashdeh, R. Hashim, A.A. Tajuddin, S. Bauk, O. Sulaiman. Effect of particle size on the characterization of binderless particleboard made from Rhizophora spp. Mangrove wood for use as phantom material. *BioResources* 6(4) (2011) 4028–4044.
- [20] M. Marashdeh, S. Bauk, A. Tajuddin, R. Hashim. Measurement of mass attenuation coefficients of Rhizophora spp. binderless particleboards in the 16.59–25.26 keV photon energy range and their density profile usingx-ray computed tomography. *Appl. Radiat. Isot.* 70(4) (2012) 656–662.
- [21] A. Abuarra, S. Bauk, R. Hashim, S. Kandaiya, E.T. Tousi, K. Aldroobi. Microstructure examination, elemental composition analysis of gum arabic bonded Rhizophora spp. Particleboards and their potential as tissue equivalent material. *Int. J. Chem. Environ. Biol. Sci.* 2(1) (2014) 2320–4087.
- [22] D. Bradley, A. Tajuddin, C.W.A.C.W. Sudin, S. Bauk. Photon attenuation studies on tropical hardwoods. *Int. J. Rad. Appl. Instrum. A*. 42(8) (1991) 771–773.
- [23] A. Tajuddin, C.C.W. Sudin, D. Bradley. Radiographic and scattering investigation on the suitability of Rhizophora sp. as tissue-equivalent mediumfor dosimetric study. *Radiat. Phys. Chem.* 47(5) (1996) 739–740.
- [24] B. Shakheet, S. Bauk, A. Tajuddin, A. Shukri. Mass attenuation coefficients of natural Rhizophora spp. wood for X-rays in the 15.77–25.27 keV range. *Radiat. Prot. Dosimetry*. 135(1) (2009) 47–53.
- [25] M.W. Marashdeh, I.F. Al-Hamarneh, E.M.A. Munem, A. Tajuddin, A. Ariffin, S. Al-Omari. Determining the mass attenuation coefficient, effective atomic number, and electron density of raw wood and binderless particleboards of Rhizophora spp. by using Monte Carlo simulation. *Results. Phys.* 5 (2015) 228–234.

- [26] M. Berger, J. Hubbell. Photon Cross section on a Personal Computer (XCOM). Center for Radiation Research of Standards. MD 20899.
- [27] <http://physics.nist.gov/PhysRefData/Xcom/Text/XCOM.html>.
- [28] M. Bethesda. Tissue substitutes in radiation dosimetry and measurement. International Commission on Radiation Units and Measurements (ICRU), (1989).
- [29] M. Medhat, S. Shirmardi, V. Singh. Comparison of geant 4, MCNP simulation codes of studying attenuation of gamma rays through biological materials with XCOM and experimental data. *J. Comput. Appl. Math.* (2014).
- [30] V. Singh, S. Shirmardi, M. Medhat, N. Badiger. Determination of mass attenuation coefficient for some polymers using Monte Carlo simulation. *Vacuum*. 119 (2015) 284–288.
- [31] S. Jayaraman, L.H. Lanzl. *Clinical radiotherapy physics*, Springer Science & Business Media, (2011).